

P-605

ОБЪЕДИНЕННЫЙ  
ИНСТИТУТ  
ЯДЕРНЫХ  
ИССЛЕДОВАНИЙ

Дубна

3 - 3259



К.Г. Родионов, Ли Сам Рён

ЛИНЕЙНЫЙ УСИЛИТЕЛЬ  
С ДВОЙНОЙ ФОРМИРОВКОЙ НА ЛИНИЯХ  
ЗАДЕРЖКИ

ЛІБОМІРІЯ НЕЙТРОННОЇ ФІЗИКИ

1967.

3 - 3259

К.Г. Родионов, Ли Сам Рён

ЛИНЕЙНЫЙ УСИЛИТЕЛЬ  
С ДВОЙНОЙ ФОРМИРОВКОЙ НА ЛИНИЯХ  
ЗАДЕРЖКИ

4923/3 №9.

Источники возможных искажений сигнала на выходе усилительной системы включают в себя ряд факторов, таких как динамические характеристики разных частей системы, наложение импульсов при больших счетных скоростях, влияние тепловых шумов, дрейф усиления с изменением окружающей температуры, реакция системы на амплитудные перегрузки и другие.

Важной характеристикой системы, используемой в ядерной физике, является "мертвое время", связанное с перегрузочными импульсами. "Мертвое время" системы – это время, в течение которого система не реагирует на импульсы, т.е. не может передавать приходящую информацию. В известной мере "мертвое время" определяет нижний предел разрешающего времени для двух последовательных импульсов, поступающих в систему.

В аппаратуре физических экспериментов используются различные типы имеющихся детекторов. Амплитуда выходного сигнала с детекторов зависит как от характеристик самого детектора, так и от энергии регистрируемого излучения и может меняться от величины меньших, чем шумы усилительной системы, до амплитуд, по сравнению с которыми шумы пренебрежимо малы. Некоторые типы детекторов, например, сцинтилляционные, позволяют регистрировать излучение в большом диапазоне энергий <sup>/1/</sup>. Выходные сигналы с детекторов могут перекрывать динамический диапазон усилителя. Работа усилителя в этих условиях будет отличаться от работы при нормальном распределении входных сигналов. Появилась необходимость ввести в характеристику усилителей новый параметр, определяющий работу при  $\alpha$  – кратных перегрузках.

При перегрузке "хвост" импульса (нормально зависящий от постоянных времени переходных цепей усилителя) расширяется; выброс обратной полярности, незначительный по величине для неперегружающего импульса, становится более нежелательным, когда усилительная система перегружается. Увеличение

этого выброса до некоторого значения приводит к появлению "мертвого времени" ("параличу") усилителя, причем "мертвое время" ("паралич") увеличивается с перегрузкой непропорционально. Зависимость "мертвого времени" от степени перегрузки имеет приближенный вид

$$t_m = K_1 \ln K_2 n,$$

где  $n$  - кратность перегрузки;

$K_1, K_2$  - коэффициенты, связанные с постоянными временем переходных цепей усилителя.

Проблема снижения перегрузки становится особенно актуальной при амплитудном анализе в большом динамическом диапазоне в малых временных окнах (например, при измерениях на импульсных источниках частиц), где уменьшение эффективности счета увеличивает время эксперимента для набора удовлетворительной статистической точности. При амплитудном анализе блокировка и последующий экспоненциальный спад выброса приводят к искажению спектра, и при больших загрузках неперегружающих импульсов - к смешению спектра. Естественно, что без применения соответствующих мер достоверность результатов измерения находится в сильной зависимости от степени перегрузки.

Известно, что для уменьшения времени восстановления усилительных схем используется одно-, двух- или трехкратное дифференцирование <sup>/3-5/</sup>. Однократное дифференцирование перепада напряжения на входе усилительной цепи дает выброс, равный

$$a = \frac{T_2}{T_1}, \quad (T_1 \gg T_2),$$

где  $T_1$  - постоянная времени входной цепи,

$T_2$  - постоянная времени формирования.

Хотя при перегрузке импульс насыщает схему и ограничивается по амплитуде, выброс растет по мере роста перегрузки до момента насыщения последнего. В обычных усилителях  $T_1 \approx 50-100$  мксек; при выбранном значении  $T_2 = 1$  мксек выброс составляет 1-2%. Десятикратные перегрузки приводят к выбросу  $\sim 20\%$ , что при входной постоянной времени  $T_1 = 50-100$  мксек значительно увеличивает эффективное разрешающее время.

Примечание: Эффективное разрешающее время определено как минимальное время, при котором амплитуда импульса, последующего за перегружающим, уменьшена на 1-2%.

При  $n$ -кратной перегрузке выброс может достигать величины начального импульса. Двойное дифференцирование позволяет уменьшить величину выброса до  $a = (\frac{T_2}{T_1})^2$ , ( $T_1 \gg T_2$ ), что при значениях  $T_1$  и  $T_2$ , приведенных выше, и входных импульсах в рабочей области усилителя дает величину  $(\frac{T_2}{T_1})^2 = 0,01 - 0,04\%$ . С увеличением числа дифференцирующих цепей выброс будет уменьшаться и, следовательно, уменьшается эффективное разрешающее время.

Вопросы уменьшения мертвого времени в измерительной системе делают желательным применение в таких системах усилителей, не имеющих "паралича" и имеющих минимально возможные значения "эффективного разрешающего времени" при данных перегрузках. Для многих экспериментов с регистрацией временной информации достаточно использовать в усилителе двойное дифференцирование. Обладая по сравнению со схемами с тройным дифференцированием не- сколько худшими перегружающими характеристиками <sup>/6/</sup>, схема с двойным диффе- ренцированием имеет более простое схемное решение и выходной сигнал биполярной формы, удобной для дальнейшего амплитудного или временного анализа.

На рис. 1 приведена схема усилителя, разработанного авторами, в котором использовано дифференцирование на короткозамкнутых линиях задержки. Оптимальной с точки зрения применения в конкретных условиях эксперимента явилась установка двух дифференцирующих цепей. Для значений параметров, приведенных ниже, усилитель парализуется при 200-кратной перегрузке.

В качестве линии задержки применен высокочастотный кабель типа РКЗ-1201. Схема выполнена на транзисторах и представляет 4 каскада усиления с обратными связями.

Первый каскад ( $T_4 + T_6$ ) - дифференциальный усилитель с коэффициентом усиления 15.

Второй каскад ( $T_7 + T_9$ ) - усилитель "тройка" с коэффициентом  $K = 10$ .

Третий каскад ( $T_{10} + T_{13}$ ) - усилитель с постоянной токовой нагрузкой, определяемой сопротивлением в цепи коллектора к базовым потенциалом транзистора. Применение такого каскада позволяет улучшить линейность для высокочувствительных сигналов. Коэффициент усиления каскада  $K = 10$ .

Четвертый каскад ( $T_{14} + T_{17}$ ) дополнительный выходной усилитель с  $K=5$ . В качестве входного инвертора использована дифференциальная схема ( $T_1 + T_3$ ). При выбранных постоянных времени  $T_1 = 120$  мксек и  $T_3 = 2$  мксек амплитуда наибольшего выброса для неперегружающих импульсов не превышает 0,04%. Эффективное время восстановления для 200-кратной перегрузки составляет 20 мксек. Время, при котором амплитуда импульса, последующего за перегружающим, уменьшена на 10%, составляет 7,5 мксек.

Выходной импульс имеет биполярную форму с максимальной амплитудой  $\pm 10$  в. Коэффициент усиления - 2000.

Шум, приведенный к входу, составляет 20 мкВ

Выходное сопротивление - 10 см

Нелинейность характеристики в рабочем диапазоне (до 10 в) не превышает - 0.1%.

Напряжение питания + 27 в.

Усилитель выполнен на печатной плате с установкой ее в стандартизированное шасси ШБ120 x 80. На переднюю панель выведены ВЧ разъемы входа и выхода и переключатель коэффициента усиления.

## Л и т е р а т у р а

1. J.B.Birks "Scintillation Counters" (mcGraw-Hill, New York 1953).
  2. C.H.Noulin J.L.Blankenship. RSI. V36. 12, 1830 (1965).
  3. G.Fairstain RSI V27, 475 (1956).
  4. R.L.Chase. IRE. Conv. Record 9 part 9, 106 (1961).
  5. F.S.Goulding et al. NIM. V8 3, 272 (1960).
  6. G.Fairstain IRE. Trans. NS 13 N.1, 596 (1966).

Рукопись поступила в издательский отдел  
31 марта 1987 г.

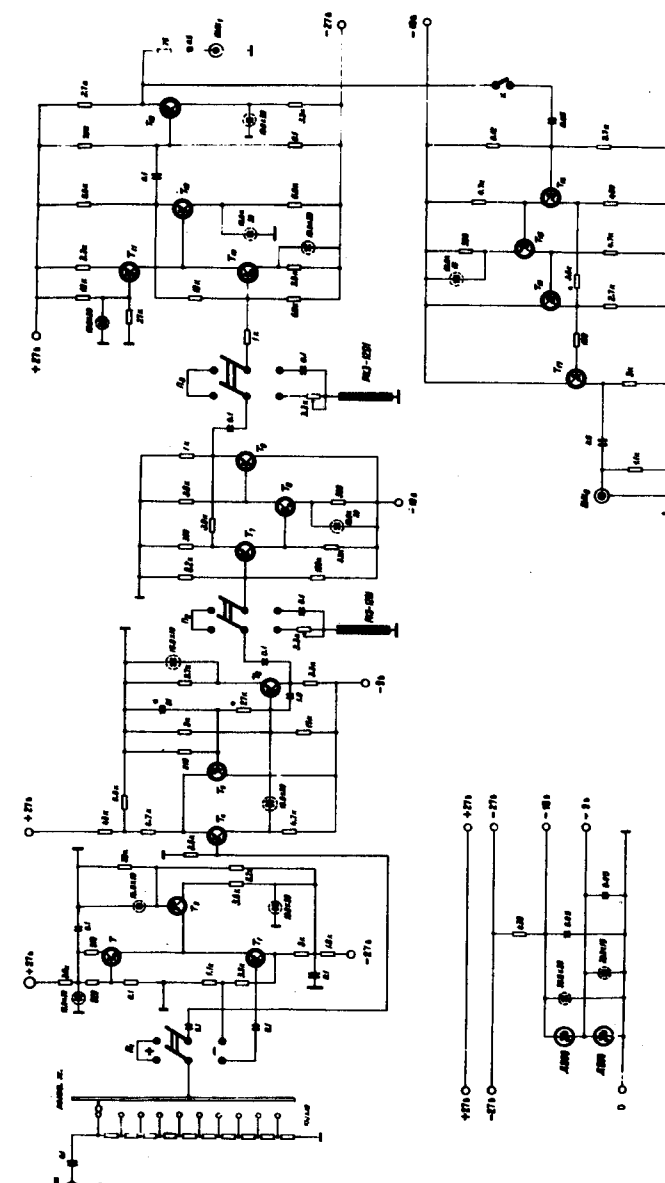


Рис. 1. Принципиальная схема усилителя ( $T_2, 8, 10, 15$  – П602  
остальные транзисторы 1Т308 В).